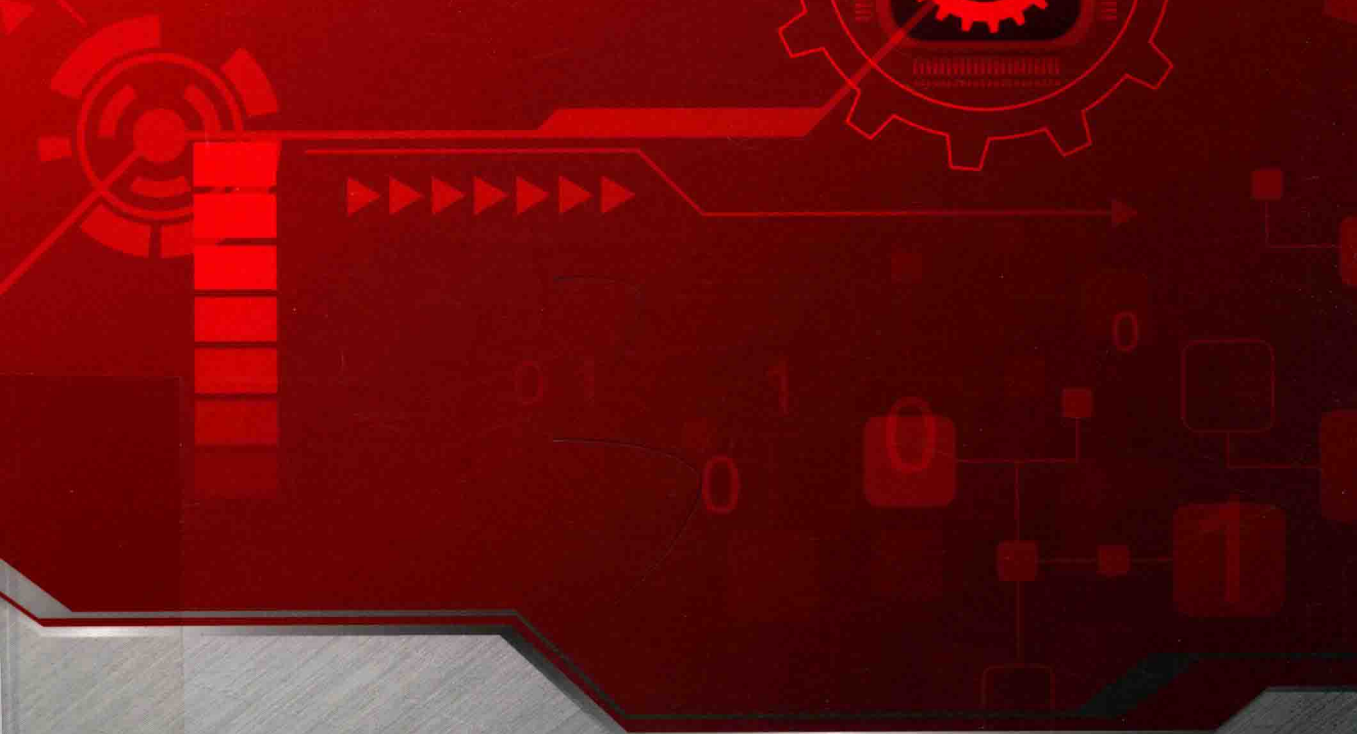


# 信号与系统考研辅导 与知识点解析

齐爱学 编著



科学出版社

# 信号与系统考研辅导与知识点解析

齐爱学 编著



科学出版社

北京

## 内 容 简 介

本书是面向高等院校电子、电气和通信信息类本科生学习的“信号与系统”课程相配套的一本同步教学辅导书及习题库，同时也是一本很好的考研辅导资料。本书的基本内容为信号与系统、连续时间系统的时域分析、离散时间系统的时域分析、连续时间系统的频域分析、连续时间系统的复频域分析、离散时间系统的z域分析和系统函数7章，每章分为考试内容(知识点)、内容(知识点)详解、典型实例和典型习题4个部分，最后是模拟试题和解析答案。

### 图书在版编目(CIP)数据

信号与系统考研辅导与知识点解析/齐爱学编著. —北京：科学出版社，  
2017.12

ISBN 978-7-03-055854-1

I. ①信… II. ①齐… III. ①信号系统—研究生—入学考试—自学参考  
资料 IV. ①TN911.6

中国版本图书馆 CIP 数据核字(2017)第 304891 号

责任编辑：潘斯斯/责任校对：郭瑞芝

责任印制：吴兆东/封面设计：迷底书装

科 学 出 版 社 出 版

北京东黄城根北街 16 号

邮 政 编 码：100717

<http://www.sciencep.com>

北京中石油彩色印刷有限责任公司 印刷

科学出版社发行 各地新华书店经销

\*

2017 年 12 月第 一 版 开本：787 × 1092 1/16

2017 年 12 月第一次印刷 印张：12 1/2

字数：300 000

定 价：39.00 元

(如有印装质量问题，我社负责调换)

## 前　　言

“信号与系统”课程是电子信息类、电气信息类专业的一门重要的基础课程，本课程用到的工程数学知识较多，习题类型多，学生在学习过程中感觉比较抽象，难于理解，难度较大，特别是有些题型学生无从下手。本书的编写是编者老师在积累多年教学经验和考研辅导的基础上，结合教学过程中学生的特点和考研过程中遇到的问题，在课程组老师的努力下完成的。

本书由齐爱学、张循利、刘岩等编写。其中齐爱学提出了编写大纲，编写了第2章、第4章、第5章和第7章及模拟题，并和刘岩等人完成了统稿；张循利编写了第1章，刘岩编写了第3章和第6章。

本书的出版得到了2012年山东省省级特色专业、2012年山东省省级精品课程、2015年山东省专业发展支持计划、滨州学院重点课程建设项目、滨州学院质量提升计划项目的支持，特此感谢。

由于编者水平有限及时间紧迫，书中不妥之处难免，恳请广大读者批评指正。

编　　者

2017年10月

## 目 录

第一章 信号与系统.....	1
第二章 连续时间系统的时域分析.....	17
第三章 离散时间系统的时域分析.....	36
第四章 连续时间系统的频域分析.....	54
第五章 连续时间系统的复频域分析 .....	86
第六章 离散时间系统的 $z$ 域分析.....	111
第七章 系统函数.....	134
第八章 模拟试题.....	157
参考文献.....	193

# 第一章 信号与系统

## 一、考试内容(知识点)

- (1) 信号的基本分类。
- (2) 信号的基本运算。
- (3) 奇异信号及其基本性质。
- (4) 系统的描述、特性和分析方法。

## 二、内容(知识点)详解

### 1. 信号的分类

信号从不同的角度可以分为以下几类。

- (1) 连续时间信号和离散时间信号。
- (2) 周期信号与非周期信号。
- (3) 功率信号和能量信号。
- (4) 实信号和复信号。
- (5) 一维信号与多维信号等。

### 2. 常用典型信号及其特点

#### 1) 正弦信号

$$f(t) = A \sin(\omega t + \varphi) = A \cos\left(\omega t + \varphi - \frac{\pi}{2}\right)$$

式中,  $A$ 、 $\omega$  和  $\varphi$  分别为正弦信号的振幅、角频率和初相位。波形如图 1-1 所示。

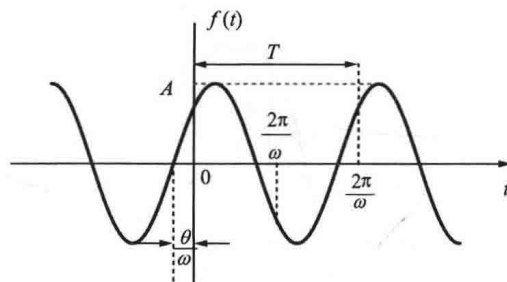


图 1-1 正弦信号

正弦信号的性质如下。

- (1) 两个频率相同的正弦信号相加, 即使其振幅和相位各不相同, 但相加后结果是原

频率的正弦信号。

(2) 若一个正弦信号的频率是另一个信号频率的整数倍，则合成信号是一个非正弦周期信号，其周期等于基波的周期。

(3) 正弦信号的微分或积分仍然是同频率的正弦信号。

### 2) 指数信号

$$f(t) = A e^{st}$$

根据式中  $A$  和  $s$  的不同取值，有下面三种形式。

(1) 若  $A = a_1$  和  $s = \sigma$  均为实常数，则  $f(t)$  为实指数信号，如图 1-2 所示。

$$f(t) = A e^{st} = a_1 e^{\sigma t}$$

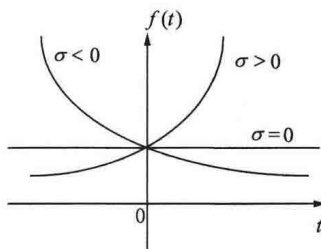


图 1-2 实指数信号

(2) 若  $A = a_1$  为实常数和  $s = j\omega$ ，则  $f(t)$  为虚指数信号。

$$f(t) = A e^{st} = a_1 e^{j\omega t}$$

(3) 若  $A$  和  $s$  均为复数，则  $f(t)$  为复指数信号。

设  $A = |A| e^{j\omega}$ ， $s = \sigma + j\omega$ ，则  $f(t)$  表示为

$$f(t) = A e^{st} = |A| e^{\sigma t} [\cos(\omega t + \varphi) + j \sin(\omega t + \varphi)]$$

### 3) 抽样信号

$$\text{Sa}(t) = \frac{\sin t}{t}$$

抽样信号波形如图 1-3 所示。

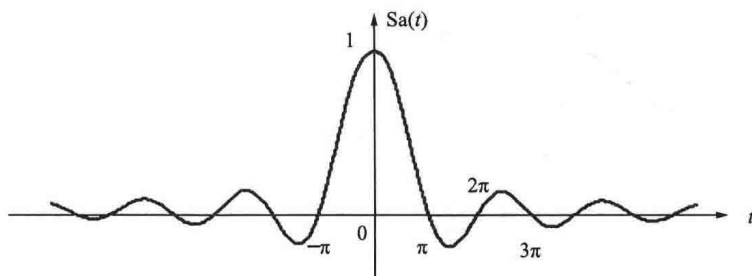


图 1-3 抽样信号

抽样信号的性质如下。

- (1) 是偶函数, 即  $\text{Sa}(t) = \text{Sa}(-t)$ 。
- (2)  $t=0$  时,  $\text{Sa}(t)=1$ , 即  $\lim_{t \rightarrow 0} \text{Sa}(t)=1$ 。
- (3)  $\text{Sa}(t)=0$ ,  $t=\pm n\pi$ ,  $n=1, 2, 3, \dots$ 。
- (4)  $\int_0^\infty \frac{\sin t}{t} dt = \frac{\pi}{2}$ ,  $\int_{-\infty}^\infty \frac{\sin t}{t} dt = \pi$ 。
- (5)  $\lim_{t \rightarrow \pm\infty} \text{Sa}(t)=0$ 。

4) 钟型脉冲信号(高斯信号)

$$f(t) = E e^{-\left(\frac{t}{\tau}\right)^2}$$

$$f\left(\frac{\tau}{2}\right) = E e^{-\frac{1}{4}} \approx 0.78E$$

钟型脉冲信号波形如图 1-4 所示。

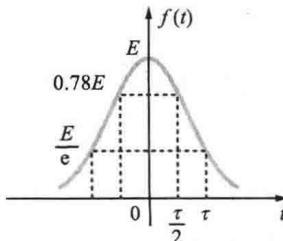


图 1-4 钟型脉冲信号

参数  $\tau$  是  $f(t)$  由最大值  $E$  下降为  $0.78E$  时所占据的时间宽度。

钟型脉冲(高斯)信号最重要的性质是其傅里叶变换也是钟型脉冲(高斯)信号, 在信号分析中占有重要地位。

### 3. 信号的运算

对自变量进行的运算: 移位、反褶与尺度变换。

移位:  $f(t) \rightarrow f(t+t_0)$ , 若  $t_0 > 0$ , 则  $f(t)$  的波形沿时间轴向左平移  $t_0$  时间; 反之, 则向右平移  $t_0$  时间。

反褶:  $f(t) \rightarrow f(-t)$ , 把  $f(t)$  的波形以  $t=0$  为轴反转(或反褶)。

尺度变换:  $f(t) \rightarrow f(at)$ , 若  $a > 1$ , 则  $f(t)$  的波形沿时间轴被压缩; 若  $0 < a < 1$ , 则  $f(t)$  的波形沿时间轴被展宽。

### 4. 阶跃函数和冲激函数

#### 1) 阶跃函数的运算性质

- (1) 可以方便地描述某些信号。
- (2) 可以用来表示信号的区间。
- (3) 积分性质。

$$\int_{-\infty}^t \varepsilon(t) dt = t\varepsilon(t)$$

2) 冲激函数的运算性质

(1) 与普通函数相乘。

$$f(t)\delta(t) = f(0)\delta(t)$$

$$f(t)\delta(t-t_0) = f(t_0)\delta(t-t_0)$$

(2) 抽样特性(筛选特性)。

$$\int_{-\infty}^{\infty} f(t)\delta(t)dt = f(0)$$

$$\int_{-\infty}^{\infty} f(t)\delta(t-t_0)dt = f(t_0)$$

(3) 尺度变换特性。

$$\delta(at) = \frac{1}{|a|}\delta(t), \quad \delta(-t) = \delta(t)$$

3)  $\delta(t)$  与  $u(t)$  的关系

$$\int_{-\infty}^t \delta(\tau)d\tau = u(t) \quad \frac{d}{dt}\varepsilon(t) = \delta(t)$$

4) 引入冲激函数  $\delta(t)$  后, 函数在间断点处也存在导函数

$$f(t) = t[\varepsilon(t) - \varepsilon(t-1)]$$

$$f'(t) = [\varepsilon(t) - \varepsilon(t-1)] + t[\delta(t) - \delta(t-1)] = [\varepsilon(t) - \varepsilon(t-1)] - \delta(t-1)$$

$f(t)$  和  $f'(t)$  的波形如图 1-5 所示。

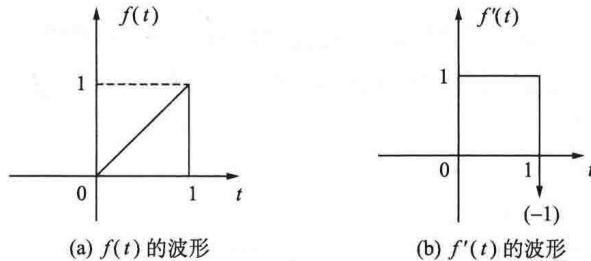


图 1-5

注: 若信号的函数值有跳变, 则信号在跳变点处的导数为冲激信号, 其冲激强度为信号在跳变点的跳跃值。

4) 冲激偶信号的基本性质

(1)  $\delta'(t)$  是奇函数。

$$\delta'(-t) = -\delta'(t)$$

(2) 与普通函数相乘。

$$f(t)\delta'(t) = f(0)\delta'(t) - f'(0)\delta(t)$$

(3) 尺度变换。

$$\delta'(at) = \frac{1}{|a|} \frac{1}{a} \delta'(t)$$

(4) 卷积运算。

$$f(t) * \delta'(t) = \frac{d}{dt} f(t), \quad f(t) * \delta'(t-t_0) = f'(t-t_0)$$

(5) 冲激偶函数的积分特性。

$$\int_{-\infty}^{+\infty} \delta'(t) dt = 0, \quad \int_{-\infty}^{\infty} \delta'(t) f(t) dt = -f'(0)$$

$$\int_{-\infty}^{\infty} \delta'(t-t_0) f(t) dt = -f'(t_0), \quad \int_{-\infty}^{+\infty} \delta^{(k)}(t) f(t) dt = (-1)^k f^{(k)}(0)$$

(6) 冲激函数与冲激偶函数的关系。

$$\delta'(t) = \frac{d\delta(t)}{dt}, \quad \int_{-\infty}^t \delta'(t) dt = \delta(t)$$

5) 复合函数形式的冲激函数

$$\delta[f(t)] = \sum_{i=1}^n \frac{1}{|f'(t_i)|} \delta(t - t_i)$$

## 5. 系统的描述

1) 系统的模型

系统的模型可用数学表达式、框图、信号流图等形式描述。一般描述连续时间系统的数学模型是微分方程，描述离散时间系统的数学模型是差分方程。

2) 系统的分类

按照系统功能或特性的区别或数学模型描述的区别，可将系统进行不同的分类，主要包括以下几类。

- (1) 连续时间系统和离散时间系统。
- (2) 即时系统和动态系统。
- (3) 线性系统和非线性系统。
- (4) 时变系统和时不变系统。
- (5) 可逆系统和不可逆系统。
- (6) 一维系统和多维系统等。
- (7) 单入-单出系统和多入-多出系统。

## 6. 系统的基本特性

若激励  $f_1(t)$  和  $f_2(t)$  产生的响应分别为  $y_1(t)$  和  $y_2(t)$ ，即  $y_1(t) = T[f_1(t)]$ ，  
 $y_2(t) = T[f_2(t)]$ ，若  $a_1$ 、 $a_2$  为常数，则线性时不变系统的性质如下。

- (1) 线性性质：  $T[a_1 f_1(t) + a_2 f_2(t)] = a_1 y_1(t) + a_2 y_2(t)$ 。
- (2) 时不变性：  $T[f(t-t_d)] \rightarrow y(t-t_d)$ 。

微分特性:  $T\left[\frac{df(t)}{dt}\right] \rightarrow \frac{dy(t)}{dt}$ 。

积分特性:  $T\left[\int_{-\infty}^t f(t)dt\right] \rightarrow \int_{-\infty}^t y(t)dt$ 。

(3) 因果性: 响应不出现于激励之前的系统。

(4) 稳定性: 对于有界的输入激励  $f(\cdot)$ , 系统的输出  $y(\cdot)$  也是有界的。

### 三、典型实例

例 1-1 画出下列各信号的波形。

$$(1) f_1(t) = 2\varepsilon(t+1) - 3\varepsilon(t-1) + \varepsilon(t-2)$$

$$(2) f_2(t) = \sin\{\pi t[\varepsilon(t) - \varepsilon(t-1)]\}$$

$$(3) f_3(t) = \frac{d}{dt}[\varepsilon(\sin(\pi t))]$$

$$(4) f_4(t) = \sin(\omega t)\varepsilon(t)$$

解: 各信号波形分别如图 1-6~图 1-9 所示。

(1)

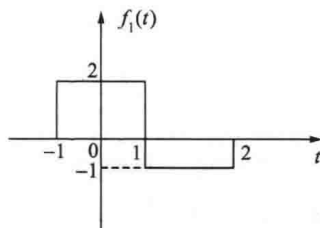


图 1-6  $f_1(t)$  波形

(2)

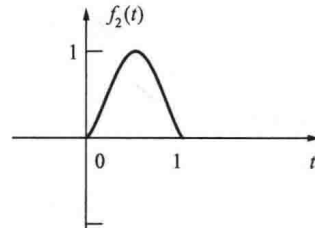


图 1-7  $f_2(t)$  波形

(3)

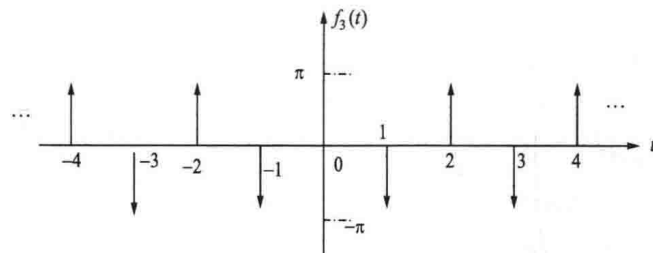


图 1-8  $f_3(t)$  波形

(4)

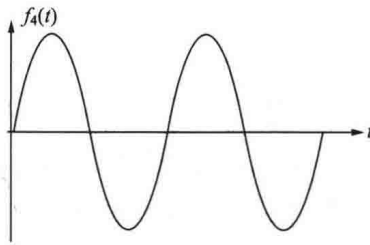


图 1-9  $f_4(t)$  波形

例 1-2 判断下列信号是否为周期信号，若是，确定其周期。

$$(1) f_1(t) = \sin(2t) + \cos(3t) .$$

$$(2) f_2(t) = \cos(2t) + \sin(\pi t) .$$

$$(3) f_3(k) = \sin\left(\frac{3\pi k}{4}\right) + \cos(0.5\pi k) .$$

$$(4) f_4(k) = \sin(2k) .$$

解：分析如下，两个周期信号  $x(t)$ 、 $y(t)$  的周期分别为  $T_1$  和  $T_2$ ，若其周期之比  $T_1 / T_2$  为有理数，则其和信号  $x(t) + y(t)$  仍然是周期信号，其周期为  $T_1$  和  $T_2$  的最小公倍数。

$$(1) \omega_1 = 2, \quad T_1 = \frac{2\pi}{\omega_1} = \pi; \quad \omega_2 = \pi, \quad T_2 = \frac{2\pi}{\omega_2} = 2; \quad \frac{T_1}{T_2} = \frac{\pi}{2} \text{ 为无理数, 故 } f_1(t) \text{ 为周期信号, 其周期为 } T_1 \text{ 和 } T_2 \text{ 的最小公倍数 } 2\pi .$$

$$(2) \omega_1 = 2, \quad T_1 = \frac{2\pi}{\omega_1} = \pi; \quad \omega_2 = \pi, \quad T_2 = \frac{2\pi}{\omega_2} = 2; \quad \frac{T_1}{T_2} = \frac{\pi}{2} \text{ 为无理数, 故 } f_2(t) \text{ 为非周期信号.}$$

$$(3) \beta_1 = \frac{3\pi}{4}, \quad \frac{2\pi}{\beta_1} = \frac{8}{3}, \quad N_1 = 8; \quad \beta_2 = 0.5\pi, \quad N_2 = \frac{2\pi}{\beta_2} = 4, \quad \text{故 } f_3(k) \text{ 为周期信号, 其周期为 } N_1 \text{ 和 } N_2 \text{ 的最小公倍数 } 8.$$

$$(4) \beta = 2, \quad N = \frac{2\pi}{\beta} = \pi, \quad \text{周期为无理数, 故 } f_4(k) \text{ 为非周期信号.}$$

例 1-3 已知  $f(t)$  波形如图 1-10 所示，画出  $f(-2t-2)$  的波形。

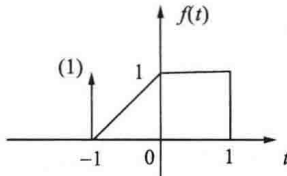


图 1-10  $f(t)$  波形

解： $f(t) \rightarrow f(t-2) \rightarrow f(-t-2) \rightarrow f(-2t-2)$ ，波形分别如图 1-11~图 1-13 所示。

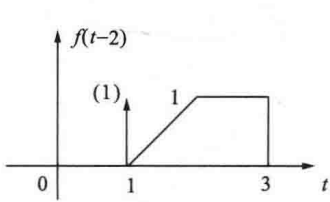


图 1-11  $f(t-2)$  波形

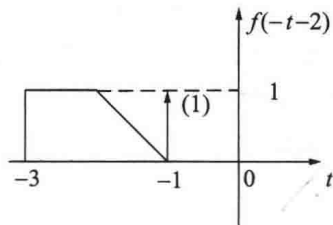


图 1-12  $f(-t-2)$  波形

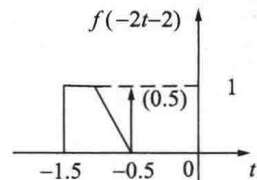


图 1-13  $f(-2t-2)$  波形

**例 1-4** 计算下列各题

$$(1) f_1(t) = \int_{-3}^0 \sin\left(t - \frac{\pi}{4}\right) \delta(t-1) dt .$$

$$(2) f_2(t) = \int_{-1}^9 \sin\left(t - \frac{\pi}{4}\right) \delta(t) dt .$$

$$(3) f_3(t) = \frac{d}{dt} [e^{-2t} \varepsilon(t)] .$$

$$(4) f_4(t) = \int_{-\infty}^{\infty} \frac{\sin(\pi t)}{t} \delta(t) dt .$$

$$(5) f_5(t) = 2\varepsilon(2t+4)\delta(t+2) .$$

解: (1)  $\int_{-3}^0 \sin\left(t - \frac{\pi}{4}\right) \delta(t-1) dt = 0 .$

$$(2) \int_{-1}^9 \sin\left(t - \frac{\pi}{4}\right) \delta(t) dt = -\frac{\sqrt{2}}{2} .$$

$$(3) \frac{d}{dt} [e^{-2t} \varepsilon(t)] = e^{-2t} \delta(t) - 2e^{-2t} \varepsilon(t) = \delta(t) - 2e^{-2t} \varepsilon(t) .$$

$$(4) \int_{-\infty}^{\infty} \frac{\sin(\pi t)}{t} \delta(t) dt = \lim_{t \rightarrow 0} \frac{\sin(\pi t)}{t} = \pi .$$

$$(5) f_5(t) = 2\varepsilon(2t+4)\delta(t+2) = 2\varepsilon[2(-2)+4]\delta(t+2) = 2\varepsilon(0)\delta(t+2) = \delta(t+2) .$$

**例 1-5** 在下列系统中,  $f(t)$  为激励,  $y(t)$  为响应,  $x(0_-)$  为初始状态, 试判定它们是否为线性系统。

$$(1) y(t) = x(0_-)f(t) .$$

$$(2) y(t) = x(0_-)^2 + f(t) .$$

$$(3) y(t) = 2x(0_-) + 3|f(t)| .$$

$$(4) y(t) = af(t) + b .$$

解: 由于系统(1)不满足分解性; 系统(2)不满足零输入线性; 系统(3)不满足零状态线性, 故这三个系统都不是线性系统。

对于系统(4), 如果直接观察  $y(t)$ - $f(t)$  关系, 似乎系统既不满足齐次性, 也不满足叠加性, 应属于非线性系统。但是考虑到令  $f(t)=0$  时, 系统响应为常数  $b$ , 若把它看成由初始状态引起的零输入响应, 系统仍是满足线性系统条件的, 故系统(4)是线性系统。

**例 1-6** 试判断以下系统是否为时不变系统。输入输出方程中  $f(t)$  和  $y(t)$  分别表示系统的激励和零状态响应,  $a$  为常数。

$$(1) y(t) = a \cos[f(t)], \quad t \geq 0 .$$

$$(2) y(t) = f(2t), \quad t \geq 0 .$$

解: (1) 设  $f(t) \rightarrow y(t) = a \cos[f(t)]$

$$f(t-t_d) \rightarrow y(t) = a \cos[f(t-t_d)] = y(t-t_d)$$

故系统是时不变的。

$$(2) \text{设 } f(t) \rightarrow y(t) = f(2t)$$

$$f(t - t_d) \rightarrow y(t) = f(2t - t_d) \neq y(t - t_d) = f(2t - 2t_d)$$

故系统是时变的。

**例 1-7** 试证明方程  $y'(t) + ay(t) = f(t)$  所描述的系统为线性系统。式中  $a$  为常数。

解：设输入有两个分量，即  $f_1(t)$  和  $f_2(t)$  且  $f_1(t) \leftrightarrow y_1(t)$ ,  $f_2(t) \leftrightarrow y_2(t)$ ，则有

$$y'_1(t) + ay_1(t) = f_1(t)$$

$$y'_2(t) + ay_2(t) = f_2(t)$$

相加可得

$$y'_1(t) + ay_1(t) + y'_2(t) + ay_2(t) = f_1(t) + f_2(t)$$

$$[y_1(t) + y_2(t)]' + a[y_1(t) + y_2(t)] = f_1(t) + f_2(t)$$

即  $f_1(t) + f_2(t) \leftrightarrow y_1(t) + y_2(t)$  满足可加性，同理，齐次性也是满足的，故系统是线性的。

**例 1-8** 绘出下列系统的仿真框图。

$$(1) y'(t) + ay(t) = b_0 f(t) + b_1 f'(t) .$$

$$(2) y''(t) + a_0 y'(t) + a_1 y(t) = b_0 f(t) + b_1 f'(t) .$$

解：(1) 设  $x(t)$  为中间变量，则

$$x'(t) + ax(t) = f(t)$$

$$y(t) = b_0 x(t) + b_1 x'(t)$$

仿真框图如图 1-14 所示。

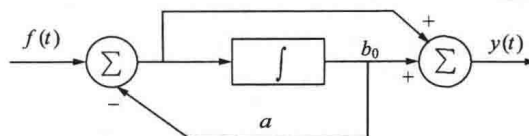


图 1-14 系统(1)仿真框图

(2) 设  $x(t)$  为中间变量，则

$$x''(t) + a_0 x'(t) + a_1 x(t) = f(t)$$

$$y(t) = b_0 x(t) + b_1 x'(t)$$

仿真框图如图 1-15 所示。

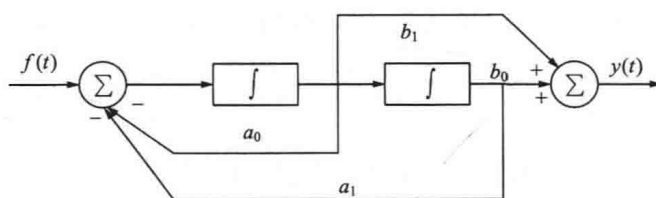


图 1-15 系统(2)仿真框图

**例 1-9** 判断下列系统是否为能量信号、功率信号。

$$(1) x(t) = e^{-at} \varepsilon(t), \quad a > 0 .$$

$$(2) x(t) = A \cos(\omega_0 t + \theta)$$

$$(3) x(t) = t \varepsilon(t)$$

$$(4) x(k) = (-0.5)^k \varepsilon(k)$$

解：(1)  $E = \int_{-\infty}^{\infty} x^2(t) dt = \int_0^{\infty} e^{-2at} dt = \frac{1}{2a} < \infty$  为能量信号。

(2)  $x(t)$  为周期信号，一般情况下，周期信号为功率信号。

$$P = \lim_{T \rightarrow \infty} \frac{1}{T} \int_{-\infty}^{\infty} x^2(t) dt = \frac{\omega_0}{2\pi} \int_0^{2\pi} A^2 \cos(\omega_0 t + \theta) dt = \frac{A^2}{2} < \infty$$

$$(3) E = \int_{-\infty}^{\infty} x^2(t) dt = \int_0^{\infty} t^2 dt \rightarrow \infty$$

$$P = \lim_{T \rightarrow \infty} \frac{1}{T} \int_{-\infty}^{\infty} x^2(t) dt = \lim_{T \rightarrow \infty} \frac{1}{T} \int_0^T t^2 dt = \lim_{T \rightarrow \infty} \frac{T}{12} \rightarrow \infty$$

所以该信号既不是能量信号，也不是功率信号。

$$(4) E = \sum_{k=-\infty}^{\infty} x^2(k) = \sum_{k=0}^{\infty} 0.25^k = \frac{1}{1-0.25} = \frac{4}{3} < \infty$$

该信号是能量信号。

**例 1-10** 一个 LTI 因果系统，当激励  $f_1(t) = \varepsilon(t)$  时，系统的全响应为  $y_1(t) = (3e^{-t} + 4e^{-2t})\varepsilon(t)$ ；当激励  $f_2(t) = 2\varepsilon(t)$  时，系统的全响应为  $y_2(t) = (5e^{-t} - 3e^{-2t})\varepsilon(t)$ ，求在相同条件下，激励为  $f_3(t) = \varepsilon(t-2)$  时系统的全响应。

解：设系统的零输入响应为  $y_{zi}(t)$ ，根据题意可知：当系统的激励为  $f_1(t) = \varepsilon(t)$  时，引起的系统的零状态响应为  $y_{zs}(t)$ ；当系统的激励为  $f_1(t) = 2\varepsilon(t)$  时，引起的系统的零状态响应为  $2y_{zs}(t)$ 。

$$y_1(t) = y_{zi}(t) + y_{zs}(t) = [3e^{-t} + 4e^{-2t}]\varepsilon(t) \quad (1-1)$$

$$y_2(t) = y_{zi}(t) + 2y_{zs}(t) = [5e^{-t} - 3e^{-2t}]\varepsilon(t) \quad (1-2)$$

式(1-2)减去式(1-1)得

$$y_{zs}(t) = [2e^{-t} - 7e^{-2t}]\varepsilon(t)$$

代入式(1-1)得

$$y_{zi}(t) = [e^{-t} + 11e^{-2t}]\varepsilon(t)$$

当激励为  $f_3(t) = \varepsilon(t-2)$  时，根据系统的线性时不变性，系统的两状态响应为

$$y_{zs3}(t) = [2e^{-(t-2)} - 7e^{-2(t-2)}]\varepsilon(t-2)$$

此时，系统的全响应为

$$y_3(t) = y_{zi}(t) + y_{zs3}(t) = [e^{-t} + 11e^{-2t}]\varepsilon(t) + [2e^{-(t-2)} - 7e^{-2(t-2)}]\varepsilon(t-2)$$

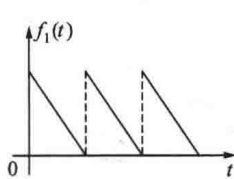
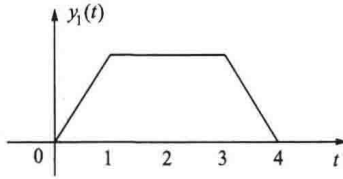
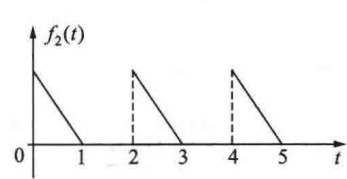
**例 1-11** 有一个线性时不变系统，初始时刻系统无储能，当激励为  $\varepsilon(t)$  时，响应为  $g(t) = e^{-t} \cos(t)\varepsilon(t) + \cos[\varepsilon(t-\pi) - \varepsilon(t-2\pi)]$ ，试求当激励为  $\delta(t)$  时，系统的冲激响应  $h(t)$ 。

$$\text{解: } \varepsilon(t) \rightarrow g(t) = e^{-t} \cos t \varepsilon(t) + \cos[\varepsilon(t-\pi) - \varepsilon(t-2\pi)]$$

根据线性时不变系统的性质，有

$$\begin{aligned}
 \delta(t) \rightarrow h(t) &= g'(t) = \{\epsilon^{-t} \cos t \epsilon(t) + \cos[\epsilon(t-\pi) - \epsilon(t-2\pi)]\}' \\
 &= -\epsilon^{-t} \cos t \epsilon(t) - \epsilon^{-t} \sin t \epsilon(t) + \delta(t) - \sin[\epsilon(t-\pi) - \epsilon(t-2\pi)] \cdot [\delta(t-\pi) - \delta(t-2\pi)] \\
 &= -\epsilon^{-t} \cos t \epsilon(t) - \epsilon^{-t} \sin t \epsilon(t) + \delta(t)
 \end{aligned}$$

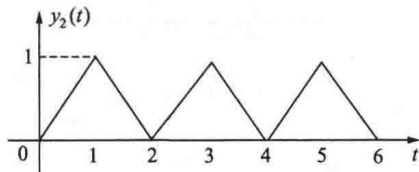
例 1-12 线性时不变系统，当激励为如图 1-16 所示的  $f_1(t)$  波形时，其零状态响应为  $y_1(t)$ ，如图 1-17 所示，试求当激励为如图 1-18 所示的  $f_2(t)$  波形时，系统的零状态响应  $y_2(t)$ 。

图 1-16  $f_1(t)$  波形图 1-17  $y_1(t)$  波形图 1-18  $f_2(t)$  波形

解：由图 1-18 可知：

$$\begin{aligned}
 f_2(t) &= f_1(t) - f_1(t-1) + f_1(t-2) \\
 y_2(t) &= y_1(t) - y_1(t-1) + y_1(t-2)
 \end{aligned}$$

$y_2(t)$  的波形如图 1-19 所示。

图 1-19  $y_2(t)$  波形

例 1-13 某线性时不变系统有两个初始条件  $x_1(0)、x_2(0)$ ，且满足以下条件。

(1) 当  $x_1(0)=1, x_2(0)=0$  时，其零输入响应为  $(\epsilon^{-t} + \epsilon^{-2t})\epsilon(t)$ 。

(2) 当  $x_1(0)=0, x_2(0)=1$  时，其零输入响应为  $(\epsilon^{-t} - \epsilon^{-2t})\epsilon(t)$ 。

(3) 当  $x_1(0)=1, x_2(0)=-1$ ，激励为  $f(t)$  时，其全响应为  $(\epsilon^{-t} + 2)\epsilon(t)$ 。

求当  $x_1(0)=3, x_2(0)=2$ ，激励为  $2f(t)$  时的全响应  $y(t)$ 。

解：当  $x_1(0)=1, x_2(0)=0$  时， $y_{zi1}(t) = (\epsilon^{-t} + \epsilon^{-2t})\epsilon(t)$ 。

当  $x_1(0)=0, x_2(0)=1$  时， $y_{zi2}(t) = (\epsilon^{-t} - \epsilon^{-2t})\epsilon(t)$ 。

当  $x_1(0)=1, x_2(0)=-1$  时，系统的零输入响应  $y_{zi1}(t) - y_{zi2}(t) = 2\epsilon^{-2t}\epsilon(t)$ ，全响应为  $y(t) = (\epsilon^{-t} + 2)\epsilon(t)$ 。

激励为  $f(t)$  时，系统的零状态响应为

$$y_{zs}(t) = y(t) - y_{zi}(t) = (\epsilon^{-t} + 2 - 2\epsilon^{-2t})\epsilon(t)$$

$x_1(0)=3, x_2(0)=2$ ，激励为  $2f(t)$  时的全响应为

$$y(t) = 3y_{z11}(t) + 2y_{z12}(t) + 2y_{zs}(t) = (7e^{-t} + 4 - 3e^{-2t})\varepsilon(t)$$

#### 四、典型习题

1. 画出下列各信号的波形。

$$(1) f_1(t) = \varepsilon(t)$$

$$(2) f_2(t) = \int_{-\infty}^t \delta\left(\cos \frac{n\pi}{2}\tau\right) d\tau$$

解：信号波形如图 1-20 和图 1-21 所示。

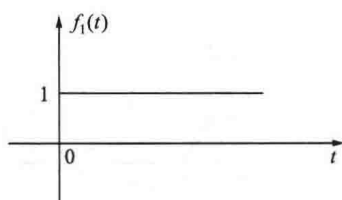


图 1-20 信号(1)波形

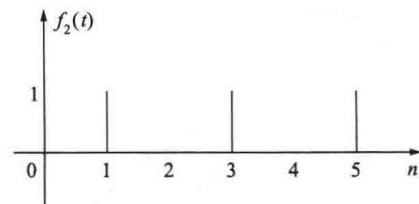


图 1-21 信号(2)波形

2. 已知  $f(5t-2)$  的波形如图 1-22 所示，画出  $f(t)$ 。

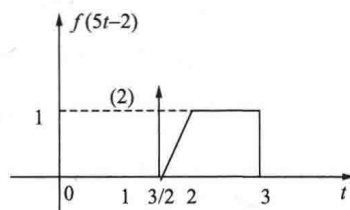


图 1-22  $f(5t-2)$  波形

解：先画出  $f(t-2)$  的波形，再画  $f(t)$  的波形，如图 1-23 和图 1-24 所示。

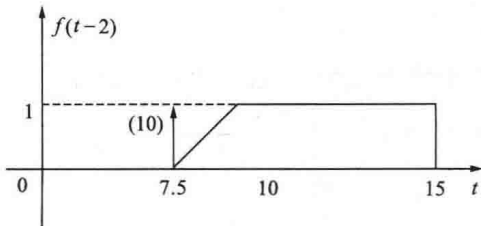


图 1-23  $f(t-2)$  波形

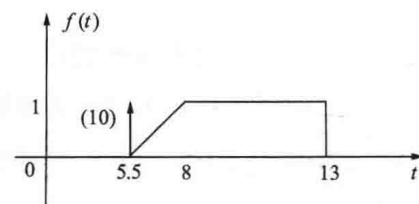


图 1-24  $f(t)$  波形

3. 信号  $f(t)$  的波形如图 1-25 所示，试画出下列信号的波形。

$$(1) 2f(t-2) \quad (2) f(2t) \quad (3) f\left(\frac{1}{2}t\right) \quad (4) f(-t+1)$$

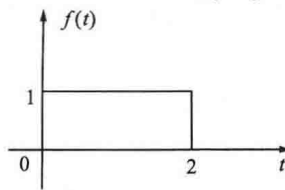


图 1-25 信号  $f(t)$  波形(一)